

Eingabe: Farbmetrisches Fernseh-Licht-System TLS18

für Buntton $h^* = lab^*h = 35/360 = 0.097$

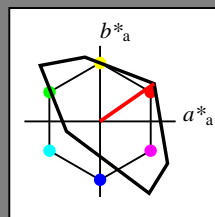
lab^*ich und lab^*nch

D65: Buntton O

LCH*Ma: 53 87 35

olv*Ma: 1.0 0.0 0.0

Dreiecks-Helligkeit t^*



TLS18; adaptierte CIELAB-Daten

	$L^*=L^*_a$	a^*_a	b^*_a	$C^*_{ab,a}$	$h^*_{ab,a}$
O _{Ma}	52.76	71.63	49.88	87.29	35
Y _{Ma}	92.74	-20.02	84.97	87.3	103
L _{Ma}	84.0	-78.98	73.94	108.2	137
C _{Ma}	87.14	-44.41	-13.11	46.32	196
V _{Ma}	35.47	64.92	-95.06	115.12	304
M _{Ma}	59.01	89.33	-55.67	105.26	328
N _{Ma}	18.01	0.0	0.0	0.0	0
W _{Ma}	95.41	0.0	0.0	0.0	0
R _{CIE}	39.92	58.74	27.99	65.07	25
J _{CIE}	81.26	-2.88	71.56	71.62	92
G _{CIE}	52.23	-42.41	13.6	44.55	162
B _{CIE}	30.57	1.41	-46.46	46.49	272

Ausgabe: Farbmetrisches Fernseh-Licht-System TLS18

für Buntton $h^* = lab^*h = 35/360 = 0.097$

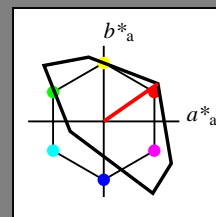
lab^*ich und lab^*nch

D65: Buntton O

LCH*Ma: 53 87 35

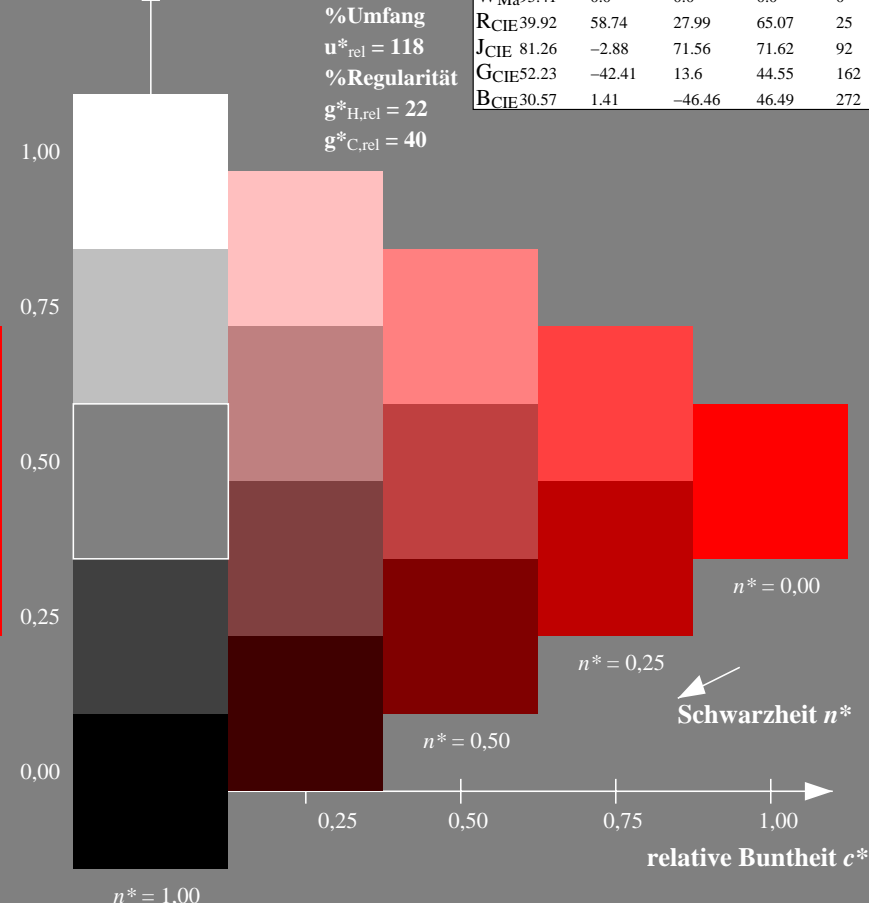
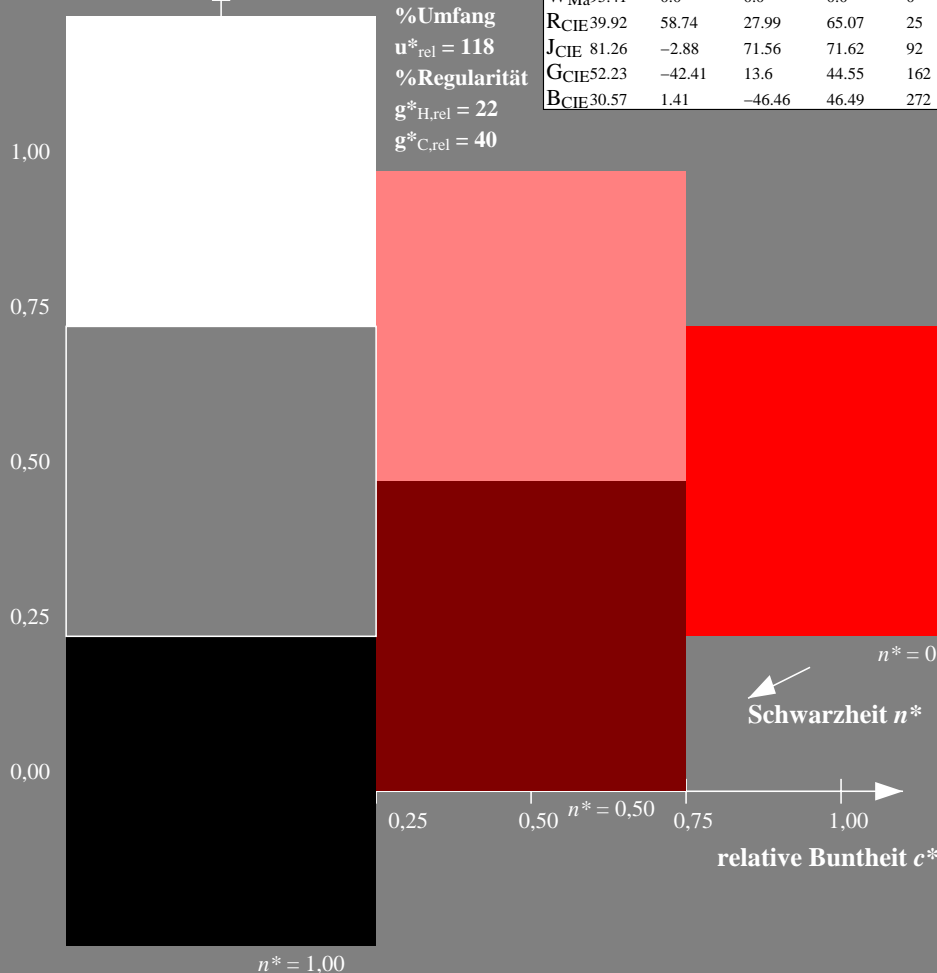
olv*Ma: 1.0 0.0 0.0

Dreiecks-Helligkeit t^*



TLS18; adaptierte CIELAB-Daten

	$L^*=L^*_a$	a^*_a	b^*_a	$C^*_{ab,a}$	$h^*_{ab,a}$
O _{Ma}	52.76	71.63	49.88	87.29	35
Y _{Ma}	92.74	-20.02	84.97	87.3	103
L _{Ma}	84.0	-78.98	73.94	108.2	137
C _{Ma}	87.14	-44.41	-13.11	46.32	196
V _{Ma}	35.47	64.92	-95.06	115.12	304
M _{Ma}	59.01	89.33	-55.67	105.26	328
N _{Ma}	18.01	0.0	0.0	0.0	0
W _{Ma}	95.41	0.0	0.0	0.0	0
R _{CIE}	39.92	58.74	27.99	65.07	25
J _{CIE}	81.26	-2.88	71.56	71.62	92
G _{CIE}	52.23	-42.41	13.6	44.55	162
B _{CIE}	30.57	1.41	-46.46	46.49	272



NG890-7, 3stufige Reihen für konstanten CIELAB Buntton 35/360 = 0.097 (links)

5stufige Reihen für konstanten CIELAB Buntton 35/360 = 0.097 (rechts)

BAM-Prüfvorlage NG89; Farbmetrik-Systeme TLS18 & TLS18 input: olv* setrgbcolor

D65: 3 und 5stufige Farbreihen für 10 Bunttöne

output: no change compared to input

Eingabe: Farbmetrisches Fernseh-Licht-System TLS18

für Buntton $h^* = lab^*h = 103/360 = 0.287$

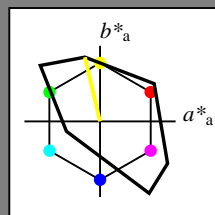
lab^*ich und lab^*nch

D65: Buntton Y

LCH*Ma: 93 87 103

olv*Ma: 1.0 1.0 0.0

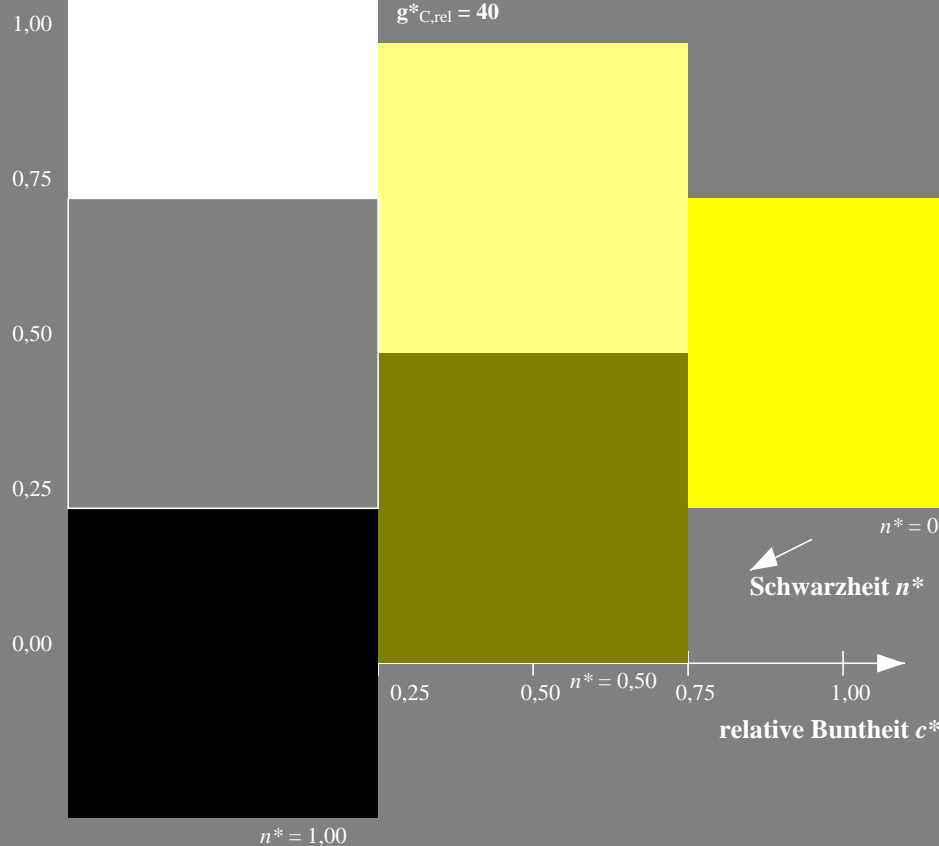
Dreiecks-Helligkeit t^*



TLS18; adaptierte CIELAB-Daten

	$L^*=L^*_a$	a^*_a	b^*_a	$C^*_{ab,a}$	$h^*_{ab,a}$
O _{Ma}	52.76	71.63	49.88	87.29	35
Y _{Ma}	92.74	-20.02	84.97	87.3	103
L _{Ma}	84.0	-78.98	73.94	108.2	137
C _{Ma}	87.14	-44.41	-13.11	46.32	196
V _{Ma}	35.47	64.92	-95.06	115.12	304
M _{Ma}	59.01	89.33	-55.67	105.26	328
N _{Ma}	18.01	0.0	0.0	0.0	0
W _{Ma}	95.41	0.0	0.0	0.0	0
R _{CIE}	39.92	58.74	27.99	65.07	25
J _{CIE}	81.26	-2.88	71.56	71.62	92
G _{CIE}	52.23	-42.41	13.6	44.55	162
B _{CIE}	30.57	1.41	-46.46	46.49	272

%Umfang
 $u^*_{rel} = 118$
%Regularität
 $g^*_{H,rel} = 22$
 $g^*_{C,rel} = 40$



Ausgabe: Farbmetrisches Fernseh-Licht-System TLS18

für Buntton $h^* = lab^*h = 103/360 = 0.287$

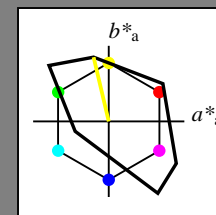
lab^*ich und lab^*nch

D65: Buntton Y

LCH*Ma: 93 87 103

olv*Ma: 1.0 1.0 0.0

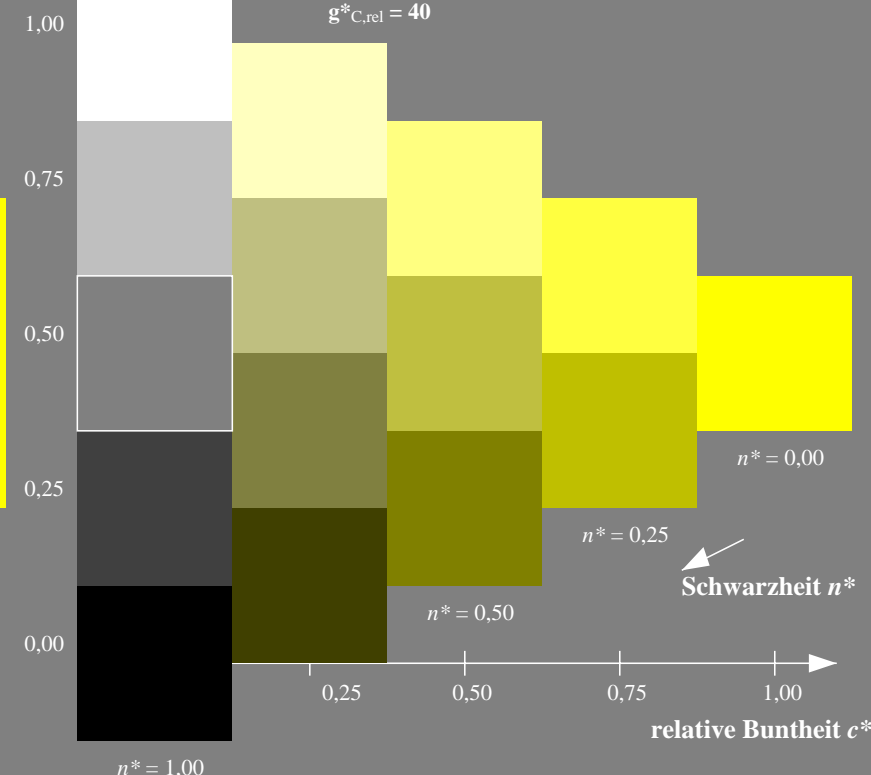
Dreiecks-Helligkeit t^*



TLS18; adaptierte CIELAB-Daten

	$L^*=L^*_a$	a^*_a	b^*_a	$C^*_{ab,a}$	$h^*_{ab,a}$
O _{Ma}	52.76	71.63	49.88	87.29	35
Y _{Ma}	92.74	-20.02	84.97	87.3	103
L _{Ma}	84.0	-78.98	73.94	108.2	137
C _{Ma}	87.14	-44.41	-13.11	46.32	196
V _{Ma}	35.47	64.92	-95.06	115.12	304
M _{Ma}	59.01	89.33	-55.67	105.26	328
N _{Ma}	18.01	0.0	0.0	0.0	0
W _{Ma}	95.41	0.0	0.0	0.0	0
R _{CIE}	39.92	58.74	27.99	65.07	25
J _{CIE}	81.26	-2.88	71.56	71.62	92
G _{CIE}	52.23	-42.41	13.6	44.55	162
B _{CIE}	30.57	1.41	-46.46	46.49	272

%Umfang
 $u^*_{rel} = 118$
%Regularität
 $g^*_{H,rel} = 22$
 $g^*_{C,rel} = 40$



NG890-7, 3stufige Reihen für konstanten CIELAB Buntton 103/360 = 0.287 (links)

5stufige Reihen für konstanten CIELAB Buntton 103/360 = 0.287 (rechts)

BAM-Prüfvorlage NG89; Farbmetrik-Systeme TLS18 & TLS18 input: olv* setrgbcolor

D65: 3 und 5stufige Farbreihen für 10 Bunttöne

output: no change compared to input

Eingabe: Farbmetrisches Fernseh-Licht-System TLS18

für Buntton $h^* = lab^*h = 137/360 = 0.38$

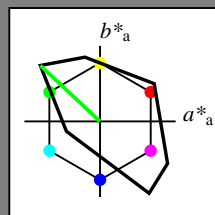
lab^*ich und lab^*nch

D65: Buntton L

LCH*Ma: 84 108 137

olv*Ma: 0.0 1.0 0.0

Dreiecks-Helligkeit t^*



TLS18; adaptierte CIELAB-Daten

	$L^*=L^*_a$	a^*_a	b^*_a	$C^*_{ab,a}$	$h^*_{ab,a}$
OMa	52.76	71.63	49.88	87.29	35
YMa	92.74	-20.02	84.97	87.3	103
LMa	84.0	-78.98	73.94	108.2	137
CMa	87.14	-44.41	-13.11	46.32	196
VMa	35.47	64.92	-95.06	115.12	304
MMa	59.01	89.33	-55.67	105.26	328
NMa	18.01	0.0	0.0	0.0	0
WMa	95.41	0.0	0.0	0.0	0
RCIE	39.92	58.74	27.99	65.07	25
JCIE	81.26	-2.88	71.56	71.62	92
GCIE	52.23	-42.41	13.6	44.55	162
BCIE	30.57	1.41	-46.46	46.49	272

Ausgabe: Farbmetrisches Fernseh-Licht-System TLS18

für Buntton $h^* = lab^*h = 137/360 = 0.38$

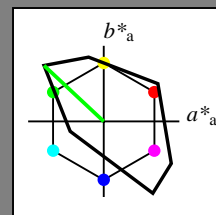
lab^*ich und lab^*nch

D65: Buntton L

LCH*Ma: 84 108 137

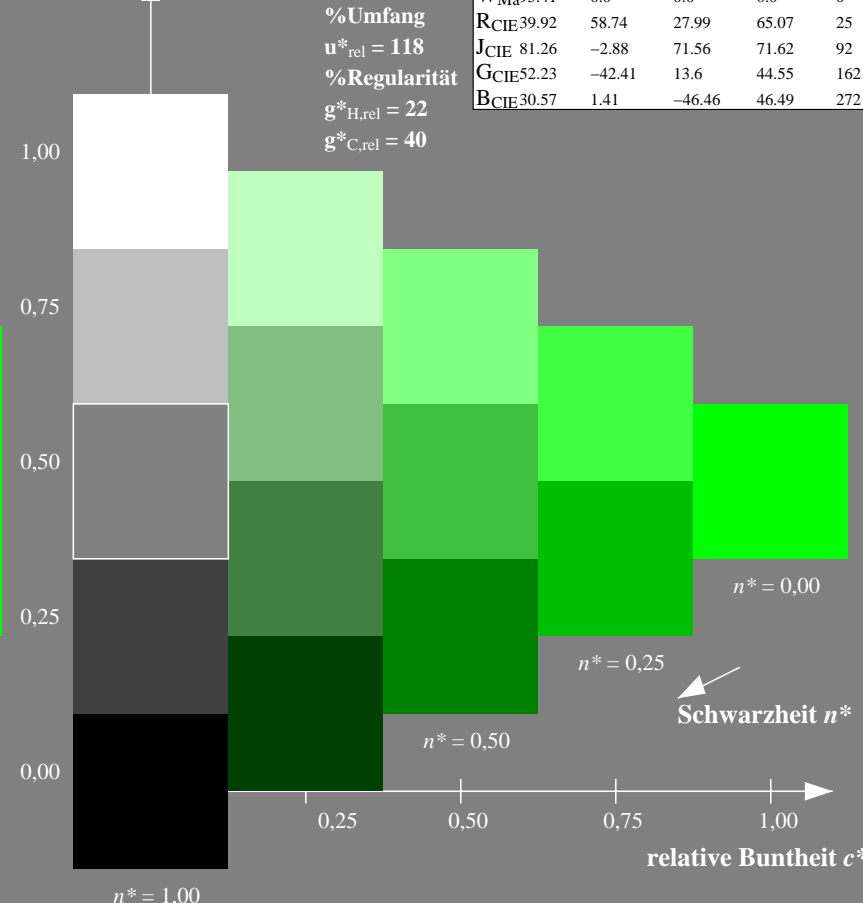
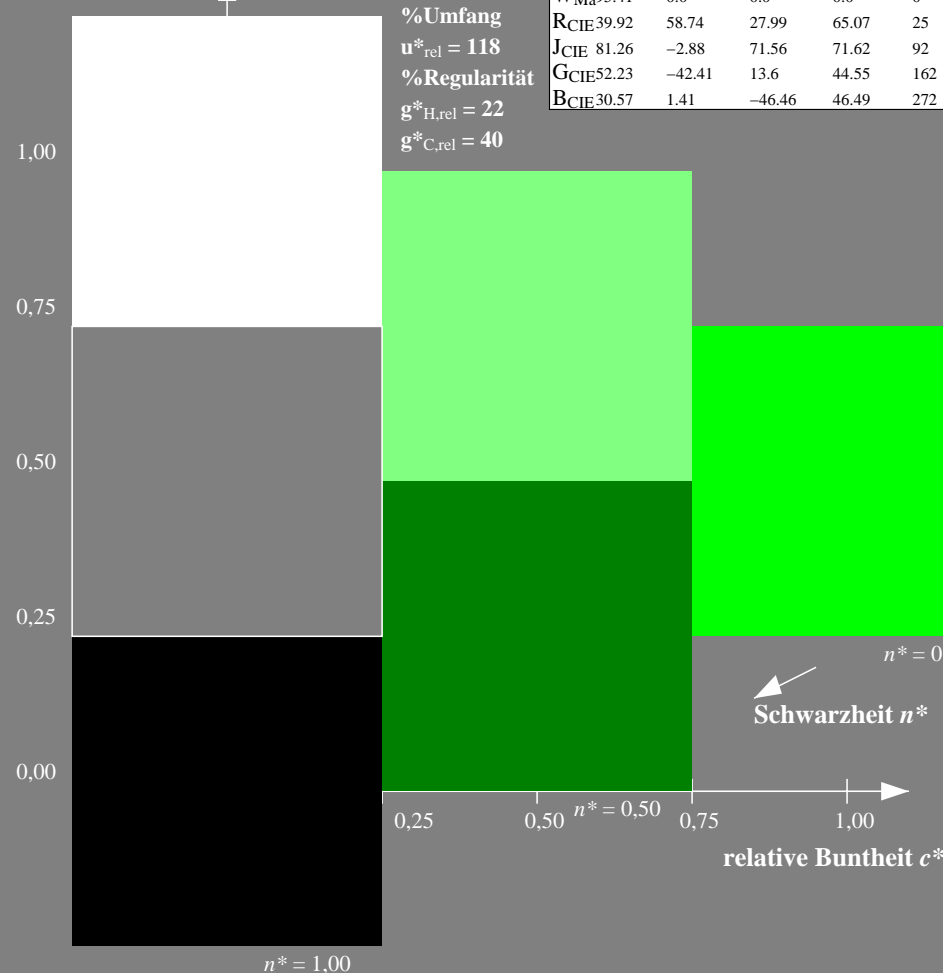
olv*Ma: 0.0 1.0 0.0

Dreiecks-Helligkeit t^*



TLS18; adaptierte CIELAB-Daten

	$L^*=L^*_a$	a^*_a	b^*_a	$C^*_{ab,a}$	$h^*_{ab,a}$
OMa	52.76	71.63	49.88	87.29	35
YMa	92.74	-20.02	84.97	87.3	103
LMa	84.0	-78.98	73.94	108.2	137
CMa	87.14	-44.41	-13.11	46.32	196
VMa	35.47	64.92	-95.06	115.12	304
MMa	59.01	89.33	-55.67	105.26	328
NMa	18.01	0.0	0.0	0.0	0
WMa	95.41	0.0	0.0	0.0	0
RCIE	39.92	58.74	27.99	65.07	25
JCIE	81.26	-2.88	71.56	71.62	92
GCIE	52.23	-42.41	13.6	44.55	162
BCIE	30.57	1.41	-46.46	46.49	272



NG890-7, 3stufige Reihen für konstanten CIELAB Buntton 137/360 = 0.38 (links)

5stufige Reihen für konstanten CIELAB Buntton 137/360 = 0.38 (rechts)

BAM-Prüfvorlage NG89; Farbmetrik-Systeme TLS18 & TLS18 input: olv* setrgbcolor

D65: 3 und 5stufige Farbreihen für 10 Bunttöne

output: no change compared to input

Eingabe: Farbmetrisches Fernseh-Licht-System TLS18

für Buntton $h^* = lab^*h = 196/360 = 0.546$

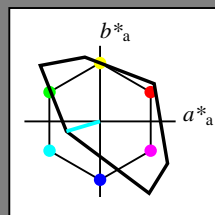
lab^*ich und lab^*nch

D65: Buntton C

LCH*Ma: 87 46 196

olv*Ma: 0.0 1.0 1.0

Dreiecks-Helligkeit t^*



TLS18; adaptierte CIELAB-Daten

	$L^*=L^*_a$	a^*_a	b^*_a	$C^*_{ab,a}$	$h^*_{ab,a}$
O _{Ma}	52.76	71.63	49.88	87.29	35
Y _{Ma}	92.74	-20.02	84.97	87.3	103
L _{Ma}	84.0	-78.98	73.94	108.2	137
C _{Ma}	87.14	-44.41	-13.11	46.32	196
V _{Ma}	35.47	64.92	-95.06	115.12	304
M _{Ma}	59.01	89.33	-55.67	105.26	328
N _{Ma}	18.01	0.0	0.0	0.0	0
W _{Ma}	95.41	0.0	0.0	0.0	0
R _{CIE}	39.92	58.74	27.99	65.07	25
J _{CIE}	81.26	-2.88	71.56	71.62	92
G _{CIE}	52.23	-42.41	13.6	44.55	162
B _{CIE}	30.57	1.41	-46.46	46.49	272

Ausgabe: Farbmetrisches Fernseh-Licht-System TLS18

für Buntton $h^* = lab^*h = 196/360 = 0.546$

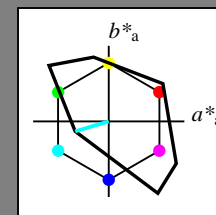
lab^*ich und lab^*nch

D65: Buntton C

LCH*Ma: 87 46 196

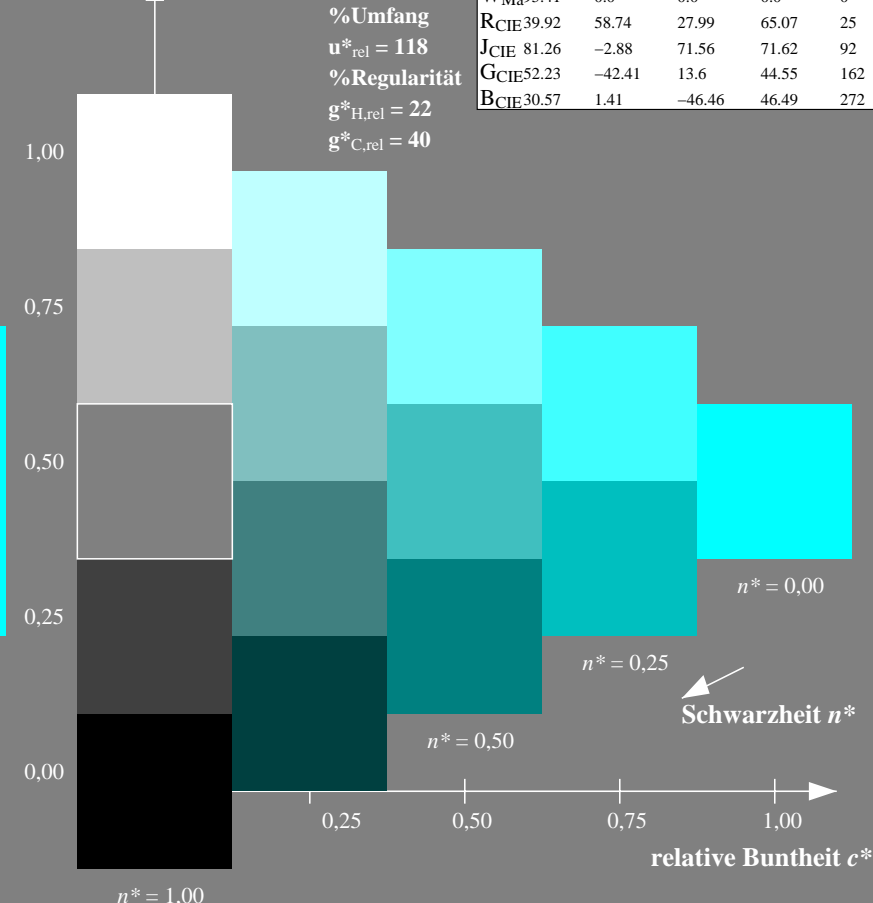
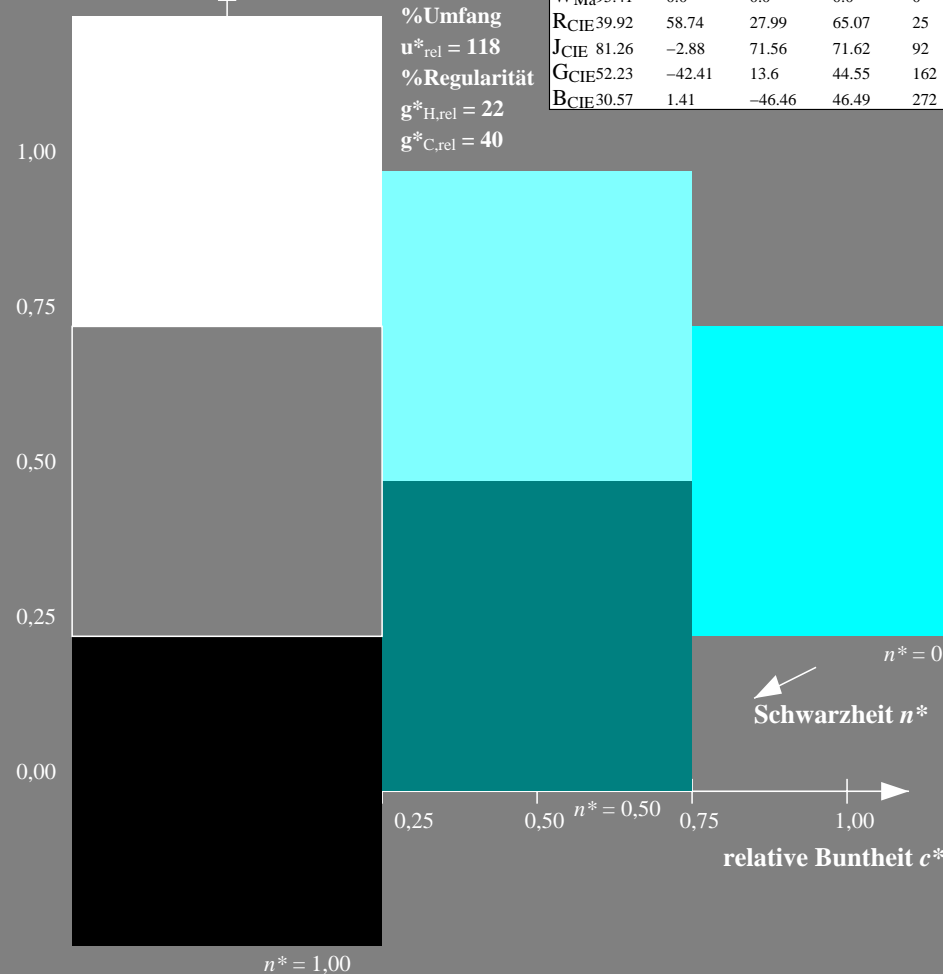
olv*Ma: 0.0 1.0 1.0

Dreiecks-Helligkeit t^*



TLS18; adaptierte CIELAB-Daten

	$L^*=L^*_a$	a^*_a	b^*_a	$C^*_{ab,a}$	$h^*_{ab,a}$
O _{Ma}	52.76	71.63	49.88	87.29	35
Y _{Ma}	92.74	-20.02	84.97	87.3	103
L _{Ma}	84.0	-78.98	73.94	108.2	137
C _{Ma}	87.14	-44.41	-13.11	46.32	196
V _{Ma}	35.47	64.92	-95.06	115.12	304
M _{Ma}	59.01	89.33	-55.67	105.26	328
N _{Ma}	18.01	0.0	0.0	0.0	0
W _{Ma}	95.41	0.0	0.0	0.0	0
R _{CIE}	39.92	58.74	27.99	65.07	25
J _{CIE}	81.26	-2.88	71.56	71.62	92
G _{CIE}	52.23	-42.41	13.6	44.55	162
B _{CIE}	30.57	1.41	-46.46	46.49	272



NG890-7, 3stufige Reihen für konstanten CIELAB Buntton 196/360 = 0.546 (links)

5stufige Reihen für konstanten CIELAB Buntton 196/360 = 0.546 (rechts)

BAM-Prüfvorlage NG89; Farbmetrik-Systeme TLS18 & TLS18 input: olv* setrgbcolor

D65: 3 und 5stufige Farbreihen für 10 Bunttöne

output: no change compared to input

Eingabe: Farbmetrisches Fernseh-Licht-System TLS18

für Buntton $h^* = lab^*h = 304/360 = 0.845$

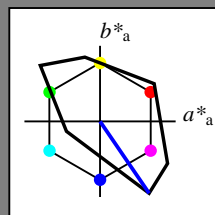
lab^*ich und lab^*nch

D65: Buntton V

LCH*Ma: 35 115 304

olv*Ma: 0.0 0.0 1.0

Dreiecks-Helligkeit t^*



%Umfang
 $u^*_{rel} = 118$
%Regularität
 $g^*_{H,rel} = 22$
 $g^*_{C,rel} = 40$

TLS18; adaptierte CIELAB-Daten

	$L^*=L^*_a$	a^*_a	b^*_a	$C^*_{ab,a}$	$h^*_{ab,a}$
O _{Ma}	52.76	71.63	49.88	87.29	35
Y _{Ma}	92.74	-20.02	84.97	87.3	103
L _{Ma}	84.0	-78.98	73.94	108.2	137
C _{Ma}	87.14	-44.41	-13.11	46.32	196
V _{Ma}	35.47	64.92	-95.06	115.12	304
M _{Ma}	59.01	89.33	-55.67	105.26	328
N _{Ma}	18.01	0.0	0.0	0.0	0
W _{Ma}	95.41	0.0	0.0	0.0	0
R _{CIE}	39.92	58.74	27.99	65.07	25
J _{CIE}	81.26	-2.88	71.56	71.62	92
G _{CIE}	52.23	-42.41	13.6	44.55	162
B _{CIE}	30.57	1.41	-46.46	46.49	272

Ausgabe: Farbmetrisches Fernseh-Licht-System TLS18

für Buntton $h^* = lab^*h = 304/360 = 0.845$

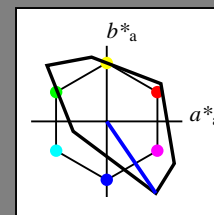
lab^*ich und lab^*nch

D65: Buntton V

LCH*Ma: 35 115 304

olv*Ma: 0.0 0.0 1.0

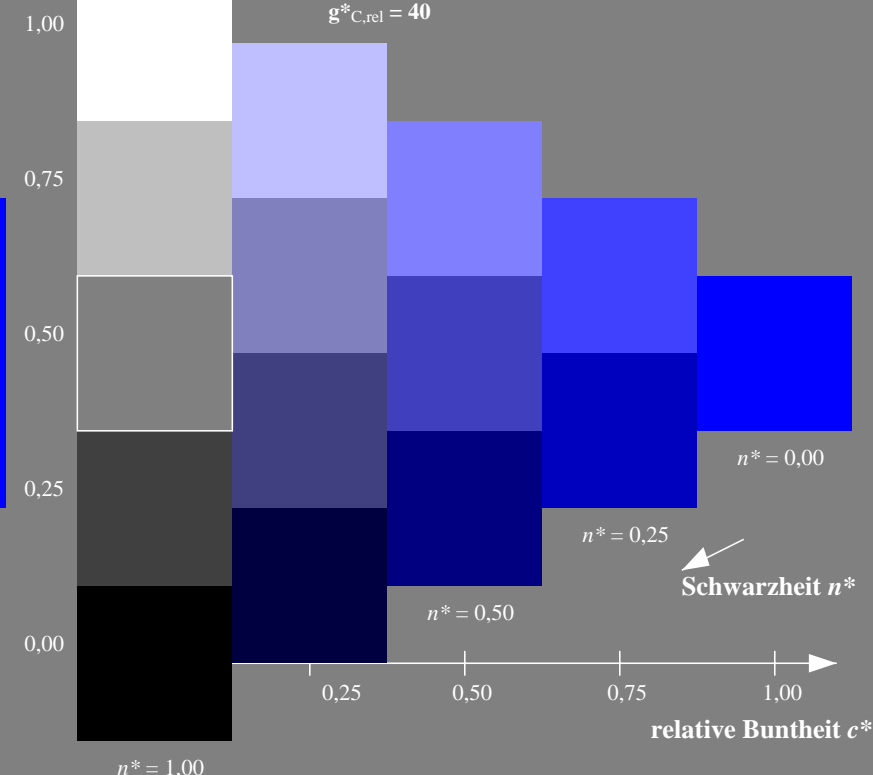
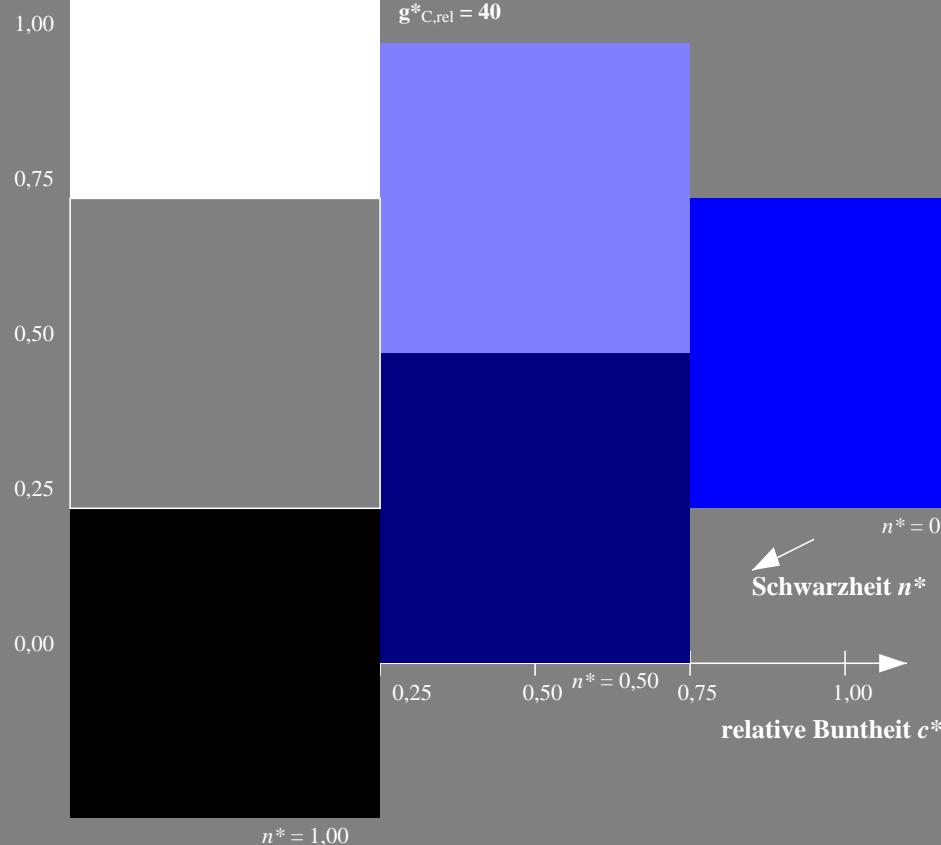
Dreiecks-Helligkeit t^*



%Umfang
 $u^*_{rel} = 118$
%Regularität
 $g^*_{H,rel} = 22$
 $g^*_{C,rel} = 40$

TLS18; adaptierte CIELAB-Daten

	$L^*=L^*_a$	a^*_a	b^*_a	$C^*_{ab,a}$	$h^*_{ab,a}$
O _{Ma}	52.76	71.63	49.88	87.29	35
Y _{Ma}	92.74	-20.02	84.97	87.3	103
L _{Ma}	84.0	-78.98	73.94	108.2	137
C _{Ma}	87.14	-44.41	-13.11	46.32	196
V _{Ma}	35.47	64.92	-95.06	115.12	304
M _{Ma}	59.01	89.33	-55.67	105.26	328
N _{Ma}	18.01	0.0	0.0	0.0	0
W _{Ma}	95.41	0.0	0.0	0.0	0
R _{CIE}	39.92	58.74	27.99	65.07	25
J _{CIE}	81.26	-2.88	71.56	71.62	92
G _{CIE}	52.23	-42.41	13.6	44.55	162
B _{CIE}	30.57	1.41	-46.46	46.49	272



NG890-7, 3stufige Reihen für konstanten CIELAB Buntton 304/360 = 0.845 (links)

5stufige Reihen für konstanten CIELAB Buntton 304/360 = 0.845 (rechts)

BAM-Prüfvorlage NG89; Farbmetrik-Systeme TLS18 & TLS18 input: olv* setrgbcolor

D65: 3 und 5stufige Farbreihen für 10 Bunttöne

output: no change compared to input

Eingabe: Farbmetrisches Fernseh-Licht-System TLS18

für Buntton $h^* = lab^*h = 328/360 = 0.911$

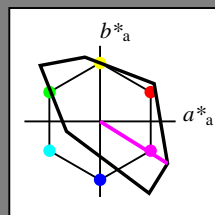
lab^*ich und lab^*nch

D65: Buntton M

LCH*Ma: 59 105 328

olv*Ma: 1.0 0.0 1.0

Dreiecks-Helligkeit t^*



%Umfang
 $u^*_{rel} = 118$
%Regularität
 $g^*_{H,rel} = 22$
 $g^*_{C,rel} = 40$

TLS18; adaptierte CIELAB-Daten

	$L^*=L^*_a$	a^*_a	b^*_a	$C^*_{ab,a}$	$h^*_{ab,a}$
O _{Ma}	52.76	71.63	49.88	87.29	35
Y _{Ma}	92.74	-20.02	84.97	87.3	103
L _{Ma}	84.0	-78.98	73.94	108.2	137
C _{Ma}	87.14	-44.41	-13.11	46.32	196
V _{Ma}	35.47	64.92	-95.06	115.12	304
M _{Ma}	59.01	89.33	-55.67	105.26	328
N _{Ma}	18.01	0.0	0.0	0.0	0
W _{Ma}	95.41	0.0	0.0	0.0	0
R _{CIE}	39.92	58.74	27.99	65.07	25
J _{CIE}	81.26	-2.88	71.56	71.62	92
G _{CIE}	52.23	-42.41	13.6	44.55	162
B _{CIE}	30.57	1.41	-46.46	46.49	272

Ausgabe: Farbmetrisches Fernseh-Licht-System TLS18

für Buntton $h^* = lab^*h = 328/360 = 0.911$

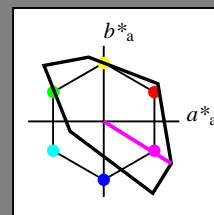
lab^*ich und lab^*nch

D65: Buntton M

LCH*Ma: 59 105 328

olv*Ma: 1.0 0.0 1.0

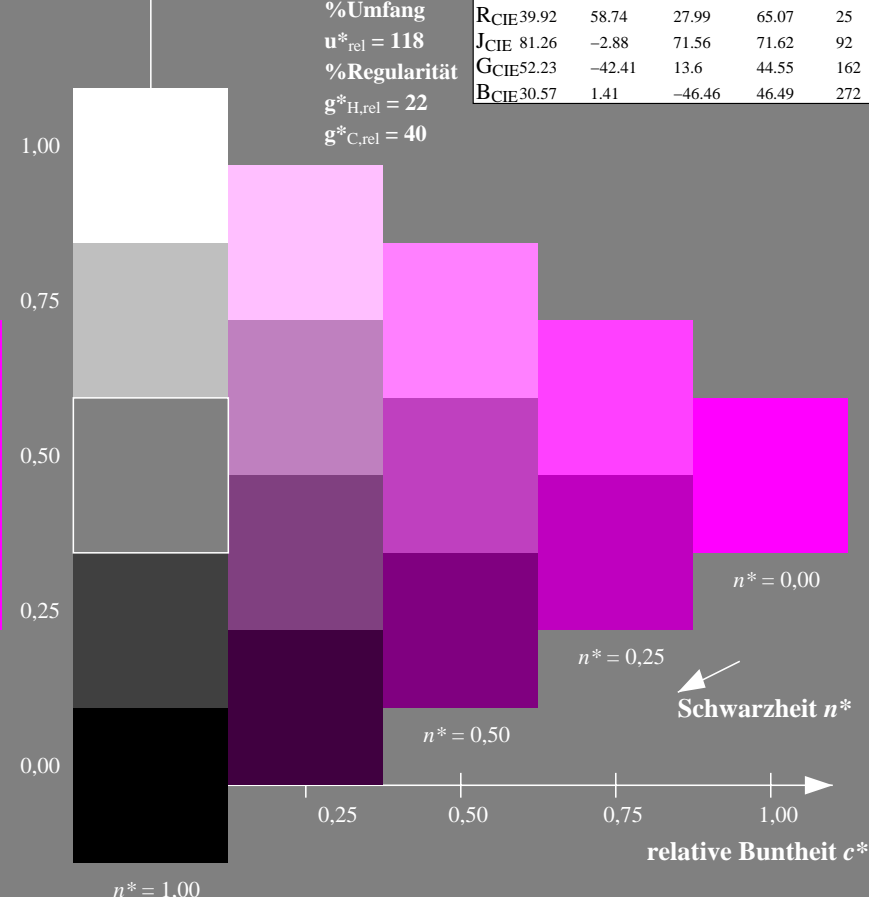
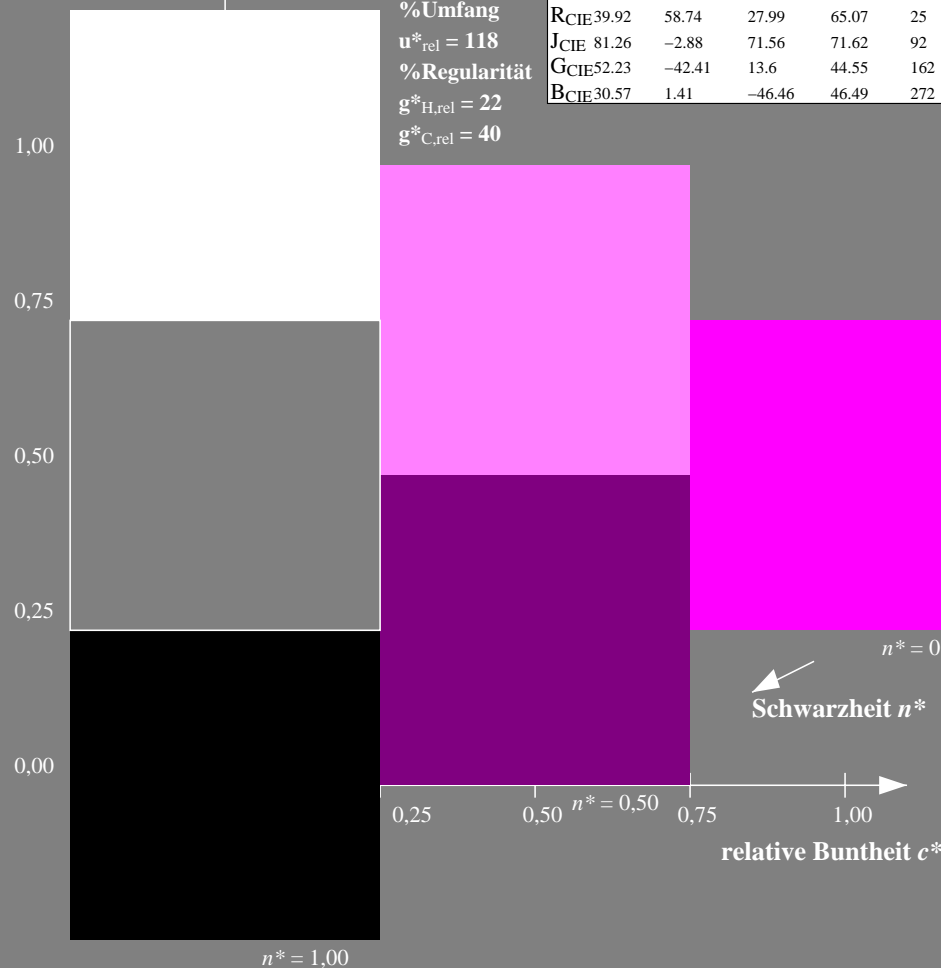
Dreiecks-Helligkeit t^*



%Umfang
 $u^*_{rel} = 118$
%Regularität
 $g^*_{H,rel} = 22$
 $g^*_{C,rel} = 40$

TLS18; adaptierte CIELAB-Daten

	$L^*=L^*_a$	a^*_a	b^*_a	$C^*_{ab,a}$	$h^*_{ab,a}$
O _{Ma}	52.76	71.63	49.88	87.29	35
Y _{Ma}	92.74	-20.02	84.97	87.3	103
L _{Ma}	84.0	-78.98	73.94	108.2	137
C _{Ma}	87.14	-44.41	-13.11	46.32	196
V _{Ma}	35.47	64.92	-95.06	115.12	304
M _{Ma}	59.01	89.33	-55.67	105.26	328
N _{Ma}	18.01	0.0	0.0	0.0	0
W _{Ma}	95.41	0.0	0.0	0.0	0
R _{CIE}	39.92	58.74	27.99	65.07	25
J _{CIE}	81.26	-2.88	71.56	71.62	92
G _{CIE}	52.23	-42.41	13.6	44.55	162
B _{CIE}	30.57	1.41	-46.46	46.49	272



NG890-7, 3stufige Reihen für konstanten CIELAB Buntton 328/360 = 0.911 (links)

5stufige Reihen für konstanten CIELAB Buntton 328/360 = 0.911 (rechts)

BAM-Prüfvorlage NG89; Farbmetrik-Systeme TLS18 & TLS18 input: olv* setrgbcolor

D65: 3 und 5stufige Farbreihen für 10 Bunttöne

output: no change compared to input

Eingabe: Farbmetrisches Fernseh-Licht-System TLS18

für Buntton $h^* = lab^*h = 25/360 = 0.071$

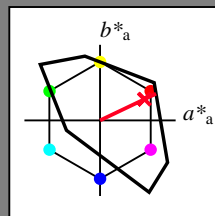
lab^*ich und lab^*nch

D65: Buntton R

LCH*Ma: 54 82 25

olv*Ma: 1.0 0.0 0.14

Dreiecks-Helligkeit t^*



%Umfang
 $u^*_{rel} = 118$
%Regularität
 $g^*_{H,rel} = 22$
 $g^*_{C,rel} = 40$

TLS18; adaptierte CIELAB-Daten

	$L^*=L^*_a$	a^*_a	b^*_a	$C^*_{ab,a}$	$h^*_{ab,a}$
O _{Ma}	52.76	71.63	49.88	87.29	35
Y _{Ma}	92.74	-20.02	84.97	87.3	103
L _{Ma}	84.0	-78.98	73.94	108.2	137
C _{Ma}	87.14	-44.41	-13.11	46.32	196
V _{Ma}	35.47	64.92	-95.06	115.12	304
M _{Ma}	59.01	89.33	-55.67	105.26	328
N _{Ma}	18.01	0.0	0.0	0.0	0
W _{Ma}	95.41	0.0	0.0	0.0	0
R _{CIE}	39.92	58.74	27.99	65.07	25
J _{CIE}	81.26	-2.88	71.56	71.62	92
G _{CIE}	52.23	-42.41	13.6	44.55	162
B _{CIE}	30.57	1.41	-46.46	46.49	272

Ausgabe: Farbmetrisches Fernseh-Licht-System TLS18

für Buntton $h^* = lab^*h = 25/360 = 0.071$

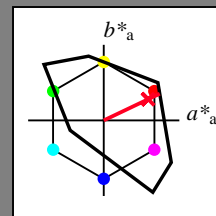
lab^*ich und lab^*nch

D65: Buntton R

LCH*Ma: 54 82 25

olv*Ma: 1.0 0.0 0.14

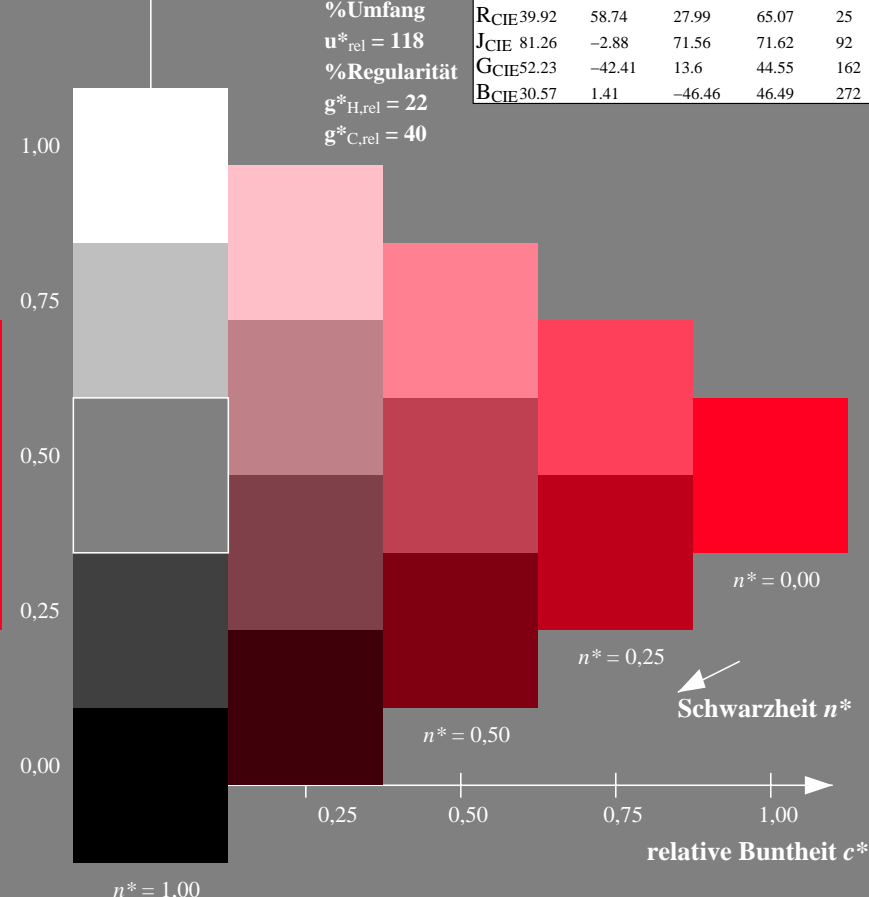
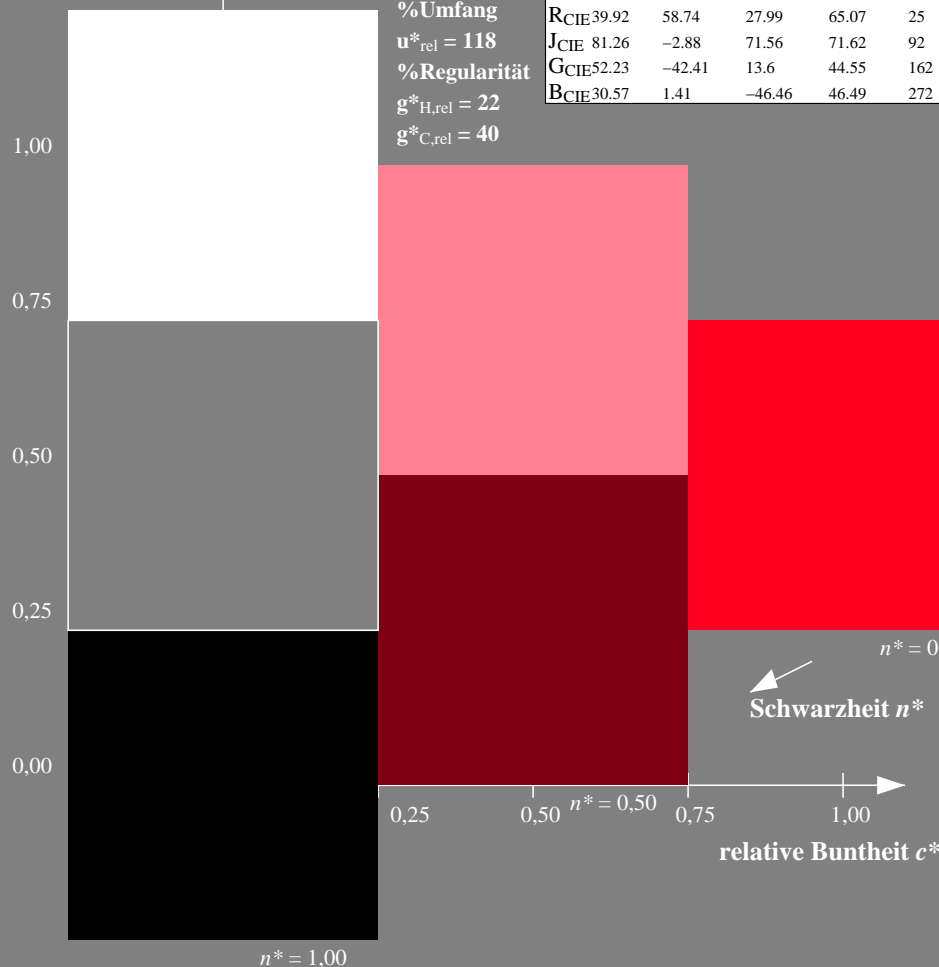
Dreiecks-Helligkeit t^*



%Umfang
 $u^*_{rel} = 118$
%Regularität
 $g^*_{H,rel} = 22$
 $g^*_{C,rel} = 40$

TLS18; adaptierte CIELAB-Daten

	$L^*=L^*_a$	a^*_a	b^*_a	$C^*_{ab,a}$	$h^*_{ab,a}$
O _{Ma}	52.76	71.63	49.88	87.29	35
Y _{Ma}	92.74	-20.02	84.97	87.3	103
L _{Ma}	84.0	-78.98	73.94	108.2	137
C _{Ma}	87.14	-44.41	-13.11	46.32	196
V _{Ma}	35.47	64.92	-95.06	115.12	304
M _{Ma}	59.01	89.33	-55.67	105.26	328
N _{Ma}	18.01	0.0	0.0	0.0	0
W _{Ma}	95.41	0.0	0.0	0.0	0
R _{CIE}	39.92	58.74	27.99	65.07	25
J _{CIE}	81.26	-2.88	71.56	71.62	92
G _{CIE}	52.23	-42.41	13.6	44.55	162
B _{CIE}	30.57	1.41	-46.46	46.49	272



NG890-7, 3stufige Reihen für konstanten CIELAB Buntton 25/360 = 0.071 (links)

5stufige Reihen für konstanten CIELAB Buntton 25/360 = 0.071 (rechts)

BAM-Prüfvorlage NG89; Farbmetrik-Systeme TLS18 & TLS18 input: olv* setrgbcolor

D65: 3 und 5stufige Farbreihen für 10 Bunttöne

output: no change compared to input

Eingabe: Farbmetrisches Fernseh-Licht-System TLS18

für Buntton $h^* = lab^*h = 92/360 = 0.256$

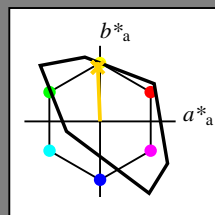
lab^*ich und lab^*nch

D65: Buntton J

LCH*Ma: 85 79 92

olv*Ma: 1.0 0.82 0.0

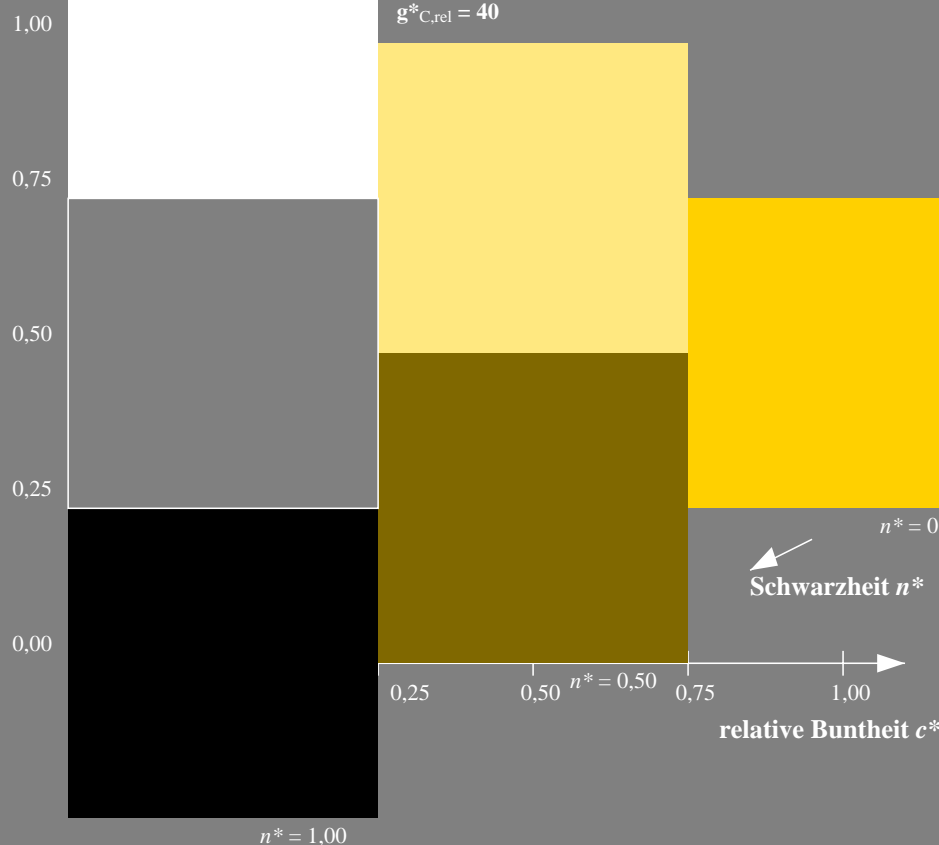
Dreiecks-Helligkeit t^*



TLS18; adaptierte CIELAB-Daten

	$L^*=L^*_a$	a^*_a	b^*_a	$C^*_{ab,a}$	$h^*_{ab,a}$
O _{Ma}	52.76	71.63	49.88	87.29	35
Y _{Ma}	92.74	-20.02	84.97	87.3	103
L _{Ma}	84.0	-78.98	73.94	108.2	137
C _{Ma}	87.14	-44.41	-13.11	46.32	196
V _{Ma}	35.47	64.92	-95.06	115.12	304
M _{Ma}	59.01	89.33	-55.67	105.26	328
N _{Ma}	18.01	0.0	0.0	0.0	0
W _{Ma}	95.41	0.0	0.0	0.0	0
R _{CIE}	39.92	58.74	27.99	65.07	25
J _{CIE}	81.26	-2.88	71.56	71.62	92
G _{CIE}	52.23	-42.41	13.6	44.55	162
B _{CIE}	30.57	1.41	-46.46	46.49	272

%Umfang
 $u^*_{rel} = 118$
%Regularität
 $g^*_{H,rel} = 22$
 $g^*_{C,rel} = 40$



NG890-7, 3stufige Reihen für konstanten CIELAB Buntton 92/360 = 0.256 (links)

BAM-Prüfvorlage NG89; Farbmetrik-Systeme TLS18 & TLS18 input: olv* setrgbcolor

D65: 3 und 5stufige Farbreihen für 10 Bunttöne

Ausgabe: Farbmetrisches Fernseh-Licht-System TLS18

für Buntton $h^* = lab^*h = 92/360 = 0.256$

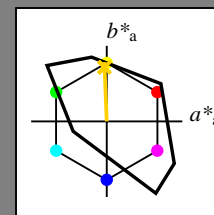
lab^*ich und lab^*nch

D65: Buntton J

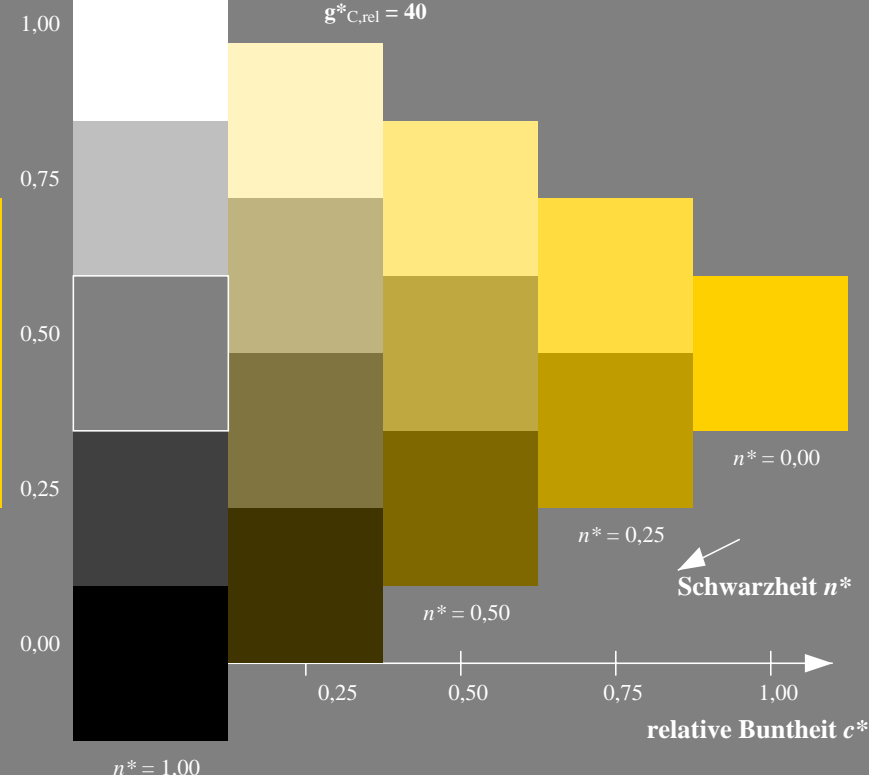
LCH*Ma: 85 79 92

olv*Ma: 1.0 0.82 0.0

Dreiecks-Helligkeit t^*



%Umfang
 $u^*_{rel} = 118$
%Regularität
 $g^*_{H,rel} = 22$
 $g^*_{C,rel} = 40$



5stufige Reihen für konstanten CIELAB Buntton 92/360 = 0.256 (rechts)

output: no change compared to input

Eingabe: Farbmetrisches Fernseh-Licht-System TLS18

für Buntton $h^* = lab^*h = 162/360 = 0.451$

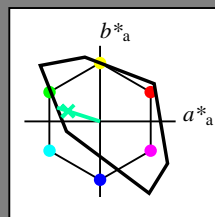
lab^*ich und lab^*nch

D65: Buntton G

LCH*Ma: 86 60 162

olv*Ma: 0.0 1.0 0.64

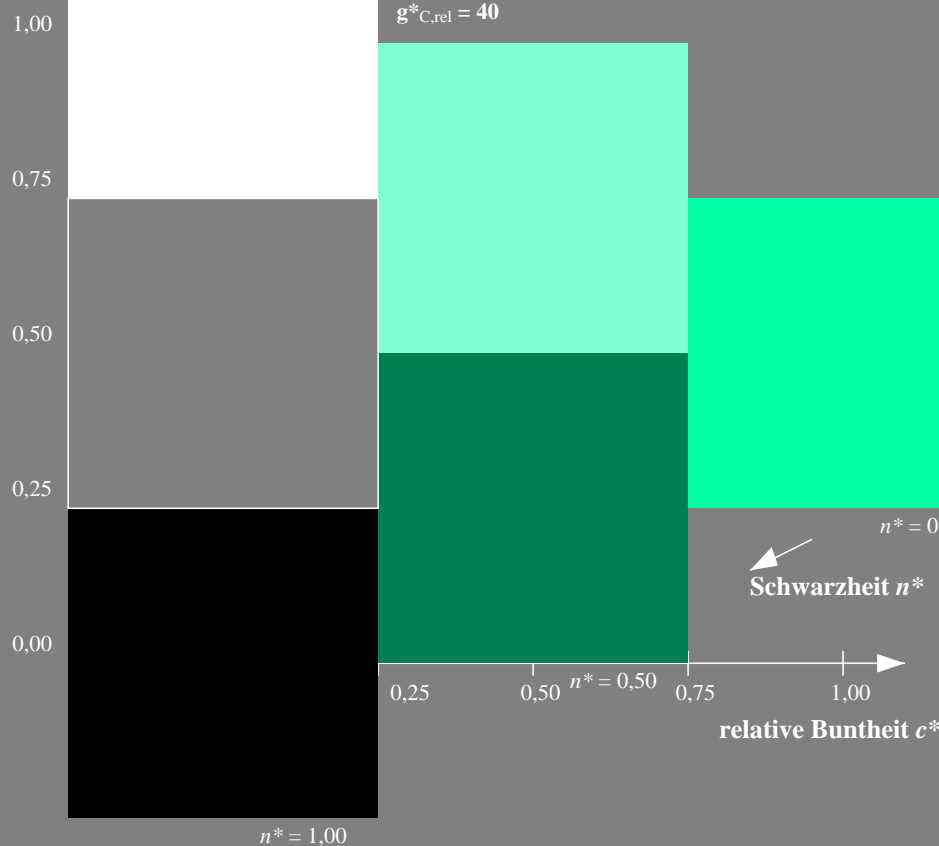
Dreiecks-Helligkeit t^*



TLS18; adaptierte CIELAB-Daten

	$L^*=L^*_a$	a^*_a	b^*_a	$C^*_{ab,a}$	$h^*_{ab,a}$
O _{Ma}	52.76	71.63	49.88	87.29	35
Y _{Ma}	92.74	-20.02	84.97	87.3	103
L _{Ma}	84.0	-78.98	73.94	108.2	137
C _{Ma}	87.14	-44.41	-13.11	46.32	196
V _{Ma}	35.47	64.92	-95.06	115.12	304
M _{Ma}	59.01	89.33	-55.67	105.26	328
N _{Ma}	18.01	0.0	0.0	0.0	0
W _{Ma}	95.41	0.0	0.0	0.0	0
R _{CIE}	39.92	58.74	27.99	65.07	25
J _{CIE}	81.26	-2.88	71.56	71.62	92
G _{CIE}	52.23	-42.41	13.6	44.55	162
B _{CIE}	30.57	1.41	-46.46	46.49	272

%Umfang
 $u^*_{rel} = 118$
%Regularität
 $g^*_{H,rel} = 22$
 $g^*_{C,rel} = 40$



NG890-7, 3stufige Reihen für konstanten CIELAB Buntton 162/360 = 0.451 (links)

BAM-Prüfvorlage NG89; Farbmetrik-Systeme TLS18 & TLS18 input: olv* setrgbcolor

D65: 3 und 5stufige Farbreihen für 10 Bunttöne

Ausgabe: Farbmetrisches Fernseh-Licht-System TLS18

für Buntton $h^* = lab^*h = 162/360 = 0.451$

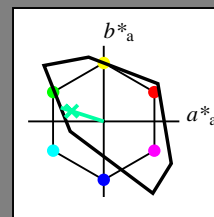
lab^*ich und lab^*nch

D65: Buntton G

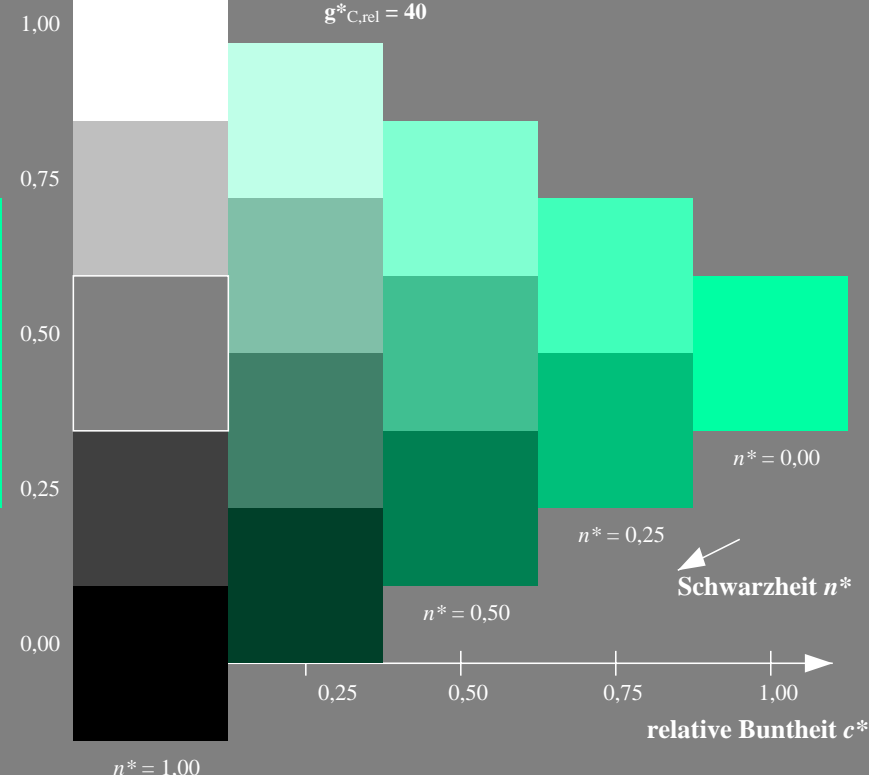
LCH*Ma: 86 60 162

olv*Ma: 0.0 1.0 0.64

Dreiecks-Helligkeit t^*



%Umfang
 $u^*_{rel} = 118$
%Regularität
 $g^*_{H,rel} = 22$
 $g^*_{C,rel} = 40$



5stufige Reihen für konstanten CIELAB Buntton 162/360 = 0.451 (rechts)

output: no change compared to input

Eingabe: Farbmetrisches Fernseh-Licht-System TLS18

für Buntton $h^* = lab^*h = 272/360 = 0.755$

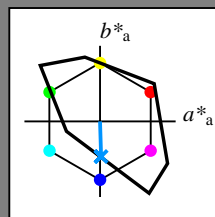
lab^*ich und lab^*nch

D65: Buntton B

LCH*Ma: 65 48 272

olv*Ma: 0.0 0.58 1.0

Dreiecks-Helligkeit t^*



TLS18; adaptierte CIELAB-Daten

	$L^*=L^*_a$	a^*_a	b^*_a	$C^*_{ab,a}$	$h^*_{ab,a}$
O _{Ma}	52.76	71.63	49.88	87.29	35
Y _{Ma}	92.74	-20.02	84.97	87.3	103
L _{Ma}	84.0	-78.98	73.94	108.2	137
C _{Ma}	87.14	-44.41	-13.11	46.32	196
V _{Ma}	35.47	64.92	-95.06	115.12	304
M _{Ma}	59.01	89.33	-55.67	105.26	328
N _{Ma}	18.01	0.0	0.0	0.0	0
W _{Ma}	95.41	0.0	0.0	0.0	0
R _{CIE}	39.92	58.74	27.99	65.07	25
J _{CIE}	81.26	-2.88	71.56	71.62	92
G _{CIE}	52.23	-42.41	13.6	44.55	162
B _{CIE}	30.57	1.41	-46.46	46.49	272

Ausgabe: Farbmetrisches Fernseh-Licht-System TLS18

für Buntton $h^* = lab^*h = 272/360 = 0.755$

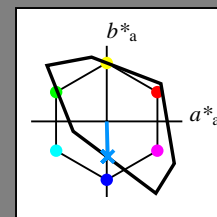
lab^*ich und lab^*nch

D65: Buntton B

LCH*Ma: 65 48 272

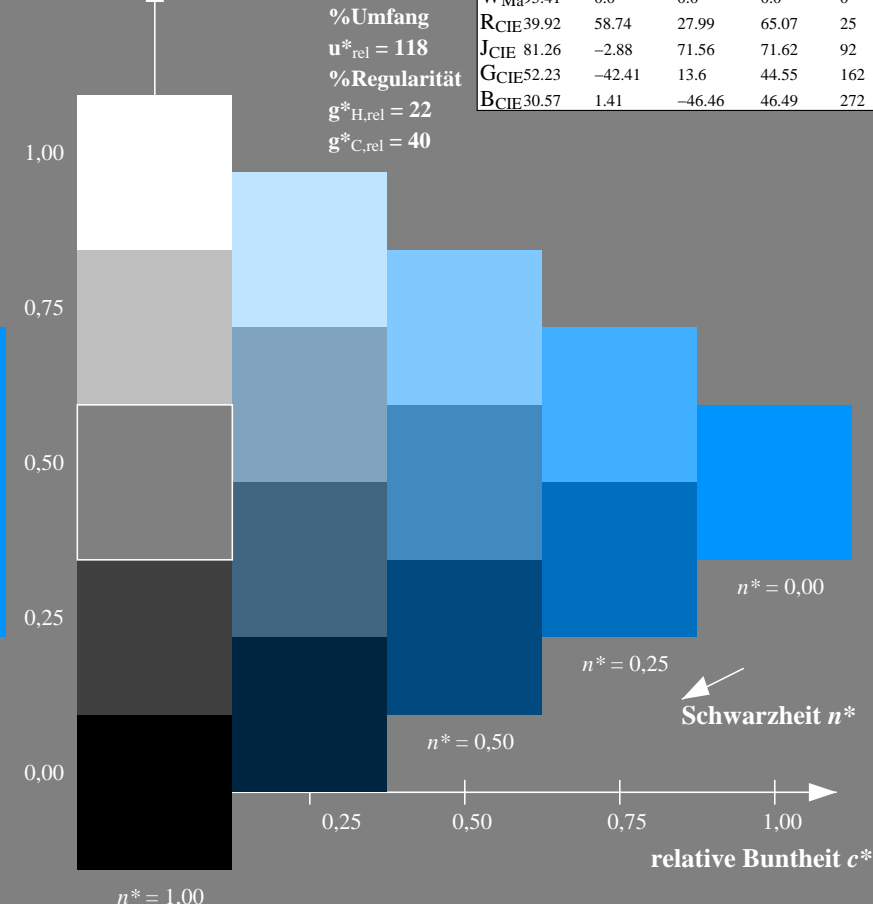
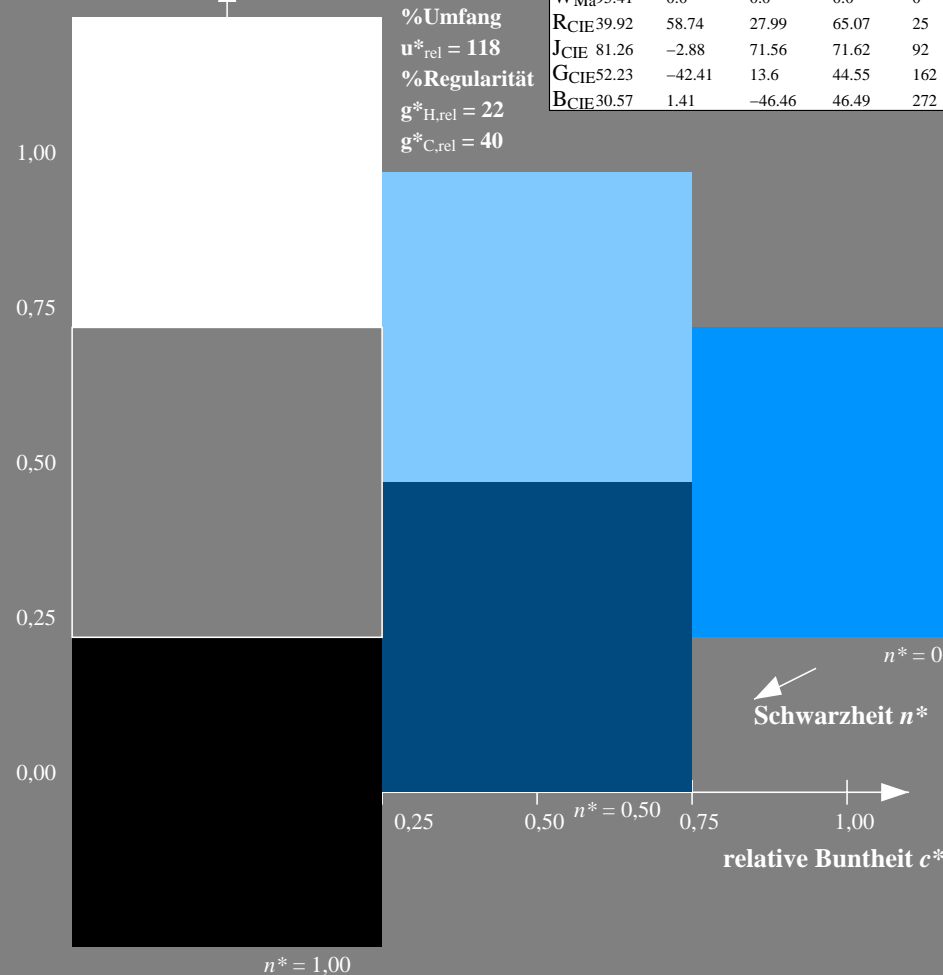
olv*Ma: 0.0 0.58 1.0

Dreiecks-Helligkeit t^*



TLS18; adaptierte CIELAB-Daten

	$L^*=L^*_a$	a^*_a	b^*_a	$C^*_{ab,a}$	$h^*_{ab,a}$
O _{Ma}	52.76	71.63	49.88	87.29	35
Y _{Ma}	92.74	-20.02	84.97	87.3	103
L _{Ma}	84.0	-78.98	73.94	108.2	137
C _{Ma}	87.14	-44.41	-13.11	46.32	196
V _{Ma}	35.47	64.92	-95.06	115.12	304
M _{Ma}	59.01	89.33	-55.67	105.26	328
N _{Ma}	18.01	0.0	0.0	0.0	0
W _{Ma}	95.41	0.0	0.0	0.0	0
R _{CIE}	39.92	58.74	27.99	65.07	25
J _{CIE}	81.26	-2.88	71.56	71.62	92
G _{CIE}	52.23	-42.41	13.6	44.55	162
B _{CIE}	30.57	1.41	-46.46	46.49	272



NG890-7, 3stufige Reihen für konstanten CIELAB Buntton 272/360 = 0.755 (links)

5stufige Reihen für konstanten CIELAB Buntton 272/360 = 0.755 (rechts)

BAM-Prüfvorlage NG89; Farbmetrik-Systeme TLS18 & TLS18 input: olv* setrgbcolor

D65: 3 und 5stufige Farbreihen für 10 Bunttöne

output: no change compared to input